

## ВОЗРАСТ КАРБОНАТИТОВ И БАЗИТОВ (SHRIMP-II И Rb-Sr МЕТОДЫ) ОШУРКОВСКОГО АПАТИТОНОСНОГО МАССИВА (Западное Забайкалье)

Г.С. Рипп, А.Г. Дорошкевич, В.Ф. Посохов, И.А. Избродин, Д.Л. Конопелько\*, С.А. Сергеев\*\*

Геологический институт СО РАН, 670047, Улан-Удэ, ул. Сахьяновой, 6а, Россия

\* Санкт-Петербургский государственный университет, 199034, Санкт-Петербург, Университетская наб., 7/9, Россия

\*\* Центр изотопных исследований, Всероссийский научно-исследовательский геологический институт им. А.П. Карпинского, 199106, Санкт-Петербург, Средний просп., 74, Россия

Представлены результаты геохронологического изучения силикатных и эндогенных карбонатных пород, распространенных на площади Ошурковского апатитоносного массива. Они включают данные по изохронному Rb-Sr и U-Pb возрасту габброидов и карбонатитов.

Полученная U-Pb датировка карбонатитов ( $126.55 \pm 0.85$  млн лет) аналогична возрасту других проявлений карбонатитов Юго-Западного Забайкалья, а близость его к возрасту габброидов ( $125.4 \pm 2$  млн лет), слагающих большую часть plutона, является предпосылкой для обоснования комагматичности этих пород.

Геохронология, возраст, карбонатиты, габброиды.

### THE AGE OF CARBONATITES AND MAFIC ROCKS (SHRIMP-II AND Rb-Sr DATING) FROM THE OSHURKOVO APATITE-BEARING PLUTON (*western Transbaikalia*)

Г.С. Рипп, А.Г. Дорошкевич, В.Ф. Посохов, И.А. Избродин, Д.Л. Конопелько, and С.А. Сергеев

The paper presents geochronological data on silicate and endogenic carbonate rocks from the Oshurkovo apatite-bearing pluton, namely, the U-Pb and Rb-Sr isochron age of gabbros and carbonatites.

The U-Pb age of the carbonatites from this pluton ( $126.55 \pm 0.85$  Ma) is close to that of other carbonatite occurrences in southwestern Transbaikalia. Also, its similarity to the age of the gabbro ( $125.4 \pm 2$  Ma), which makes up the bulk of the pluton, suggests that these rocks are comagmatic.

Geochronology, age, carbonatites, gabbros

### ОБЗОР ПРОБЛЕМЫ И ЦЕЛЬ ИССЛЕДОВАНИЯ

Одной из особенностей Юго-Западного Забайкалья является присутствие на его площади карбонатитов, сопровождающих позднемезозойский этап внутриплитного рифтогенеза. К их числу относятся и карбонатные жилы, распространенные в контурах Ошурковского массива. Проведенное ранее определение показало, что их возраст (118 млн лет, Rb-Sr) существенно моложе других проявлений карбонатитов (126—130 млн лет, Rb-Sr и U-Pb) в пределах Западно-Забайкальской карбонатитовой провинции [Рипп и др., 2000, 2009], что послужило одной из причин их повторного геохронологического изучения.

Другой причиной проводимых исследований была необходимость оценки комагматичности силикатных и карбонатных пород. К настоящему времени связь между этими породами обоснована только на одном из проявлений (Халиутинском), расположенному в 15 км от Ошурковского, где шонкиниты и щелочные сиениты имеют близкие с карбонатитами возраст, геохимические и изотопно-геохимические особенности [Doroshkevich et al., 2010].

О связи эндогенной карбонатной минерализации с габброидами Ошурковского plutона ранее высказывались Г.М. Яценко [1982] и Л.Г. Кузнецова с соавторами [1995]. Первым и наиболее важным признаком такой связи должны быть близкие значения возраста силикатных пород и карбонатитов. Предпринятое геохронологическое исследование весьма важно еще и потому, что в Юго-Западном Забайкалье известно несколько массивов, подобных Ошурковскому, которые могли продуцировать карбонатный расплав.

### КРАТКАЯ ГЕОЛОГИЧЕСКАЯ ХАРАКТЕРИСТИКА МАССИВА

Ошурковский plutон относится к одному из интересных геологических образований Восточной Сибири. Он расположен в 20 км от г. Улан-Удэ, занимает площадь несколько более 12 км<sup>2</sup> и резко дискордантен к вмещающим гнейсам и гнейсовидным гранитам (рис. 1). Высокая концентрация апатита определила его промышленную значимость. Массив является пока единственным в Юго-Западном За-

**Рис. 1. Схема геологического строения площади Ошурковского месторождения и участки проведения геохронологического изучения.**

1 — современные рыхлые отложения, 2 — сиениты, комагматичные габброидам, 3 — щелочно-полевошпатовые сиениты, 4 — щелочные габбро, 5 — гнейсовые граниты, 6 — гнейсы, 7 — жилы карбонатитов, 8 — разрывные нарушения, 9 — участки отбора проб для геохронологических исследований и номер точки. Привязка точек: 1 — карбонатит (жила № 3)  $51^{\circ}56'44.8''$  с.ш.,  $107^{\circ}28'53.5''$  в.д.,  $H = 529$  м; 2 — мезократовое габбро  $51^{\circ}56'43''$  с.ш.,  $107^{\circ}27'53''$  в.д.;  $H = 587$  м; 3 — меланократовое габбро  $51^{\circ}56'17.2''$  с.ш.,  $107^{\circ}28'23.6''$  в.д.,  $H = 506$  м; 4 — карбонатит (жила № 1)  $51^{\circ}56'43.6''$  с.ш.,  $107^{\circ}28'26.1''$  в.д.,  $H = 510$  м.

байкалье, для которого получены позднемезозойские датировки. Другие известные позднемезозойские интрузивные базиты представлены только дайками.

Неординарный петрохимический состав пород вызвал неоднозначность оценки их формационной принадлежности. Присутствие среднего плагиоклаза (андезина) подвигнуло некоторых исследователей отнести их к диоритам [Андреев и др., 1972; Кузнецов, 1980], а повышенная щелочность — к габбро-монцонит-диоритовой [Поляков и др., 1980] и монцодиорит-сиенитовой [Litvinovsky et al., 2002] сериям. Другими исследователями, исходя из петрохимического состава, породы отнесены к базитам, габбро-диоритовым [Костромин, Ковальский, 1966; Смирнов, 1971], габбро-ультрабазитовым [Кузнецова и др., 1995], ультраосновным щелочным [Яценко, 1982] комплексам. Согласно Б.А. Литвиновскому [Литвиновский и др., 1998а], мафические породы не имеют четких геологических границ и представляют собой кумулятивные образования.

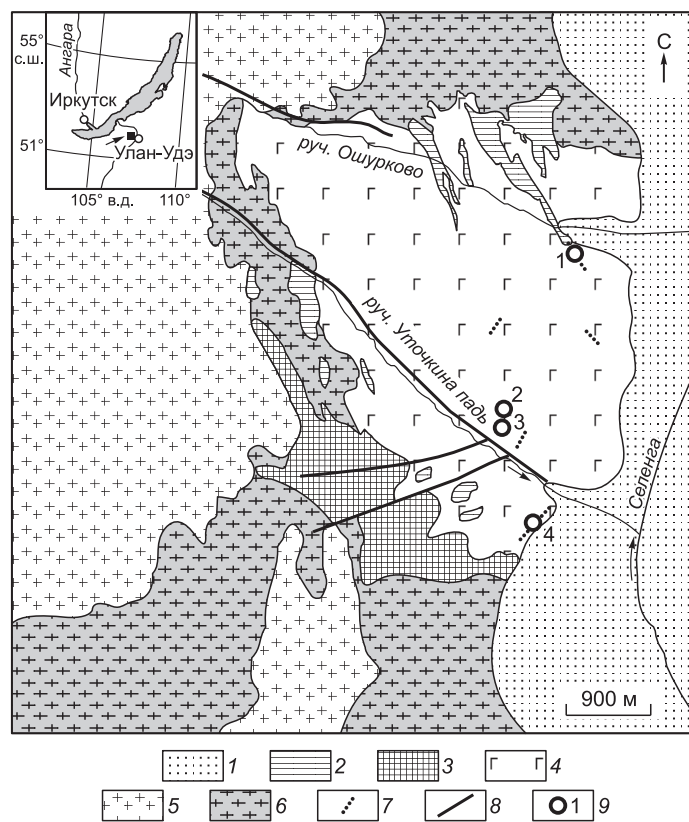
Около 70 % объема plutона сложено щелочными габбро, остальная — сиенитами [Litvinovsky et al., 2002]. Главной причиной дифференцированности массива является фракционная кристаллизация, обусловившая, по [Литвиновский и др., 1998б], появление сиенитов на поздних стадиях. Другими исследователями образование сиенитов связывается с метасоматическими [Кузнецов, 1980] и ассимиляционными [Смирнов, 1971] процессами.

По содержанию темноцветных минералов среди габброидов выделены мелано-, мезо- и лейкократовые разности, имеющие как резкие, так и постепенные переходы между собой. Среди них встречаются шлиры и жилы габбро-пегматитов.

Габброиды состоят из варьирующих количеств плагиоклаза, амфибола, биотита, клинопироксена, апатита, калиевого и калиево-натриевого полевого шпата. Темноцветные минералы представлены в основном амфиболом и биотитом. Ведущую роль в них играет роговая обманка. Количество пироксена обычно не превышает 5—7 %. Он представлен диопсид-авгитом, содержащим до 10—15 % эгиринового минала. Для биотита, относящегося к флогопит-аннитовому ряду, характерна повышенная титанистость (до 4—5 мас.%  $TiO_2$ ) и магнезиальность (до 1.8 ф.е. Mg). В числе постоянно присутствующих отмечаются титанит, ильменит и высокотитанистый (до 12 мас.%  $TiO_2$ ) магнетит.

Щелочно-полевошпатовые сиениты одними исследователями [Литвиновский и др., 1998б] считаются комагматичными с габброидами, другими [Костромин и др., 1966; Андреев и др., 1972] — не имеющими генетической связи с последними.

Массив все еще остается недостаточно изученным. Это касается его геохимических и в том числе изотопно-геохимических особенностей, условий образования и достоверности возраста. Эндогенные карбонатные породы, присутствующие на площади массива, представлены маломощными (до 0.6—1.0 м) разноориентированными жилами, прослеживающимися по простиранию до 100 м [Рипп и др., 2000]. Это мелко- и среднезернистые кальцитовые породы с полосчатостью конформной ориентировки жил. Контакты их с вмещающими породами резкие, часто сорваны и тектонизированы, сами тела участками дроблены. Зальбанды жил обычно оторочены флогопитом и обогащены магнетитом. В породах



присутствуют также апатит, высокостронциевый барит, акцессорные количества монацита, циркона, алланита. Магнетит содержит магний (1.4—1.75 мас.% MgO), пластинки ильменита, являющегося продуктом распада твердого раствора. Изотопный состав кислорода в минералах (силикаты, апатит, магнетит, карбонаты) ложится в поле, характерное для магматических карбонатитов, а температуры образования, определенные по изотопно-кислородным термометрам, составили для пар магнетит—флогопит 932—946 °С и магнетит—кальцит 625 °С.

В некоторых жилах отмечены более поздние окварцевание и рекристаллизация кальцита. В преобразованных кальцитах резко понизилось содержание стронция (с 1.5—2 до менее 0.1 мас.% SrO).

## АНАЛИТИЧЕСКИЕ МЕТОДЫ

Определения Rb-Sr возраста выполнены В.Ф. Пороховым (Геологический институт СО РАН). Анализы проводились на масс-спектрометрах МИ-1201 Т (ГИН СО РАН) и Finnigan MAT-262 (Байкальский аналитический центр коллективного пользования, г. Иркутск). Состав стронция и его концентрации устанавливались методом двойного изотопного разбавления, а содержание Rb — простым изотопным разбавлением. Для контроля измерений состава Sr использовались стандарты ВНИИМ и NBS-987, по которым получены  $^{87}\text{Sr}/^{86}\text{Sr} = 0.70798 \pm 0.00008$  и  $0.71026 \pm 0.00001$ . Погрешности определения отношений с учетом параллельных измерений для  $^{87}\text{Sr}/^{86}\text{Sr}$  и  $^{87}\text{Rb}/^{86}\text{Sr}$  составили не более 0.05 и 1 % ( $2\sigma$ ) соответственно. Расчет возраста выполнялся по общепринятой программе ISOPLOT. Ввиду низких значений Rb/Sr в большинстве валовых проб использовались выборки определения возраста по схеме вал—минерал.

Первичные изотопные стронциевые отношения определялись в таких «безрудиевых» минералах, как кальцит, апатит, барит, в которых рубидий либо отсутствовал, либо содержание его не превышало первых единиц г/т.

U-Pb датирование циркона осуществлено на ионном микрозонде SHRIMP-II в Центре изотопных исследований ВСЕГЕИ. Был препарирован циркон из мезократового, меланократового габбро и карбонатита (см. рис. 1, точки 1, 2, 3). Отобранные кристаллы были имплантированы в эпоксидную смолу вместе с зернами цирковых стандартов TEMORA и 91500. Для выбора точек локального анализа использовались оптические, BSE и катодолюминесцентные изображения, отражающие внутреннюю структуру и зональность цирконов. Измерения U-Pb отношений проводились по методике, описанной в работе [Williams, 1998]. Интенсивность первичного пучка молекулярного кислорода составляла 4 нА, диаметр кратера пробоотбора составлял 25 мкм при глубине до 5 мкм. Обработка полученных данных осуществлялась с помощью программы SQUID [Ludwig, 2000]. U-Pb отношения нормализовались на значение 0.0668, приписанное стандартному циркону TEMORA, что соответствует возрасту этого циркона 416.75 млн лет [Black et al., 2003]. Погрешности единичных анализов приводятся на уровне  $1\sigma$ , а вычисленных конкордантных возрастов — на уровне  $2\sigma$ . Построение графиков с конкордией проводилось с использованием программы ISOPLOT/EX [Ludwig, 1999].

## РЕЗУЛЬТАТЫ ГЕОХРОНОЛОГИЧЕСКОГО ИЗУЧЕНИЯ

Геохронологическое изучение Ошурковского массива проводила большая группа исследователей. При этом все известные нам определения проведены K-Ar и Rb-Sr методами. Возраст базитов приведен в работах [Кузнецов, 1980; Литвиновский и др., 1998; Litvinovsky et al., 2002], габбро-пегматитов [Яценко, Росихина, 1974; Шадаев и др., 2001], гранитных пегматитов [Шадаев и др., 2001], а карбонатитов — авторов статьи [Рипп и др., 2009]. Результаты этих исследований представлены в табл. 1.

K-Ar датировки пород Ошурковского plutона лежат в интервале 115—149 млн лет [Кузнецов, 1980]. При этом наибольшие значения получены по роговой обманке [144—149 млн лет], моложе — по биотиту (115—127 млн лет). Rb-Sr методом [Литвиновский и др., 1998; Litvinovsky et al., 2002] возраст габбро и монцодиорита составил  $108 \pm 9$  и  $126 \pm 4$  млн лет, а мафического кумулата —  $135 \pm 5$  млн лет. Возраст габбро-пегматита из этого массива, по [Яценко, Росихина, 1974], составляет 80 (K-Ar) и  $122 \pm 9$  млн лет (Rb-Sr), по [Шадаев и др., 2001], а гранитных пегматитов, прорывающих массив, 113—128 млн лет [Шадаев и др., 2001].

Возраст карбонатитов (см. рис. 1, т. 4), полученный Rb-Sr методом, оказался заметно моложе, чем значения других проявлений карбонатитов Юго-Западного Забайкалья (соответственно 118 и 126—130 млн лет) [Рипп и др., 2009]. Это послужило основанием для их повторного изучения, которое включало помимо Rb-Sr также и U-Pb датирование. Изучены две жилы (см. рис. 1, т. 1 и 4), Rb-Sr характеристика которых дана в табл. 2. Изохронный возраст их оказался идентичным ранее определенному и составил  $118 \pm 11$  млн лет для жилы в точке 4 и  $120 \pm 9$  млн лет для жилы в точке 1. Первичные отношения стронция в них ( $I_{\text{Sr}}$ ) равны соответственно  $0.7054 \pm 0.0002$  и  $0.7053 \pm 0.0002$ .

Таблица 1. Результаты геохронологического изучения пород на площади Ошурковского массива

Порода	Минерал	Метод анализа	Возраст	Источник
Диорит роговообманковый	Hrb	K-Ar	149	[Кузнецов, 1980]
»	Hrb	»	144 ± 10	»
»	Биотит	»	127	»
»	»	»	124	»
»	»	»	115 ± 5	»
Габбро	—	Rb-Sr	108 ± 9	[Литвиновский и др., 1998]
Монцодиорит	—	»	126 ± 4	[Litvinovsky et al., 2002]
Кумулат мафический	—	Rb-	135 ± 5	»
Габбро-пегматит	Hrb	K-Ar	80	[Яценко и др., 1974]
»	—	Rb-Sr	122 ± 9	[Шадаев и др., 2001]
Габбро мезократовое (т. 2)	Циркон I	U-Pb	121.8 ± 3.9	Наши данные
»	Циркон II	»	280.6 ± 2.7	»
Габбро меланократовое (т. 3)	Циркон I	»	125.4 ± 2	»
»	Циркон II	»	273 ± 3.7	»
Карбонатит (т. 1)	—	Rb-Sr	120 ± 9	»
»	Циркон	U-Pb	126.64 ± 0.85	»
Карбонатит (т. 4)	—	Rb-Sr	118 ± 11	»
Гранитный пегматит	—	»	119 ± 2.4	[Шадаев и др., 2001]
»	—	»	121 ± 2.4	»
»	—	»	113 ± 2	»
Биотитовый гнейс	—	»	117 ± 5	Наши данные

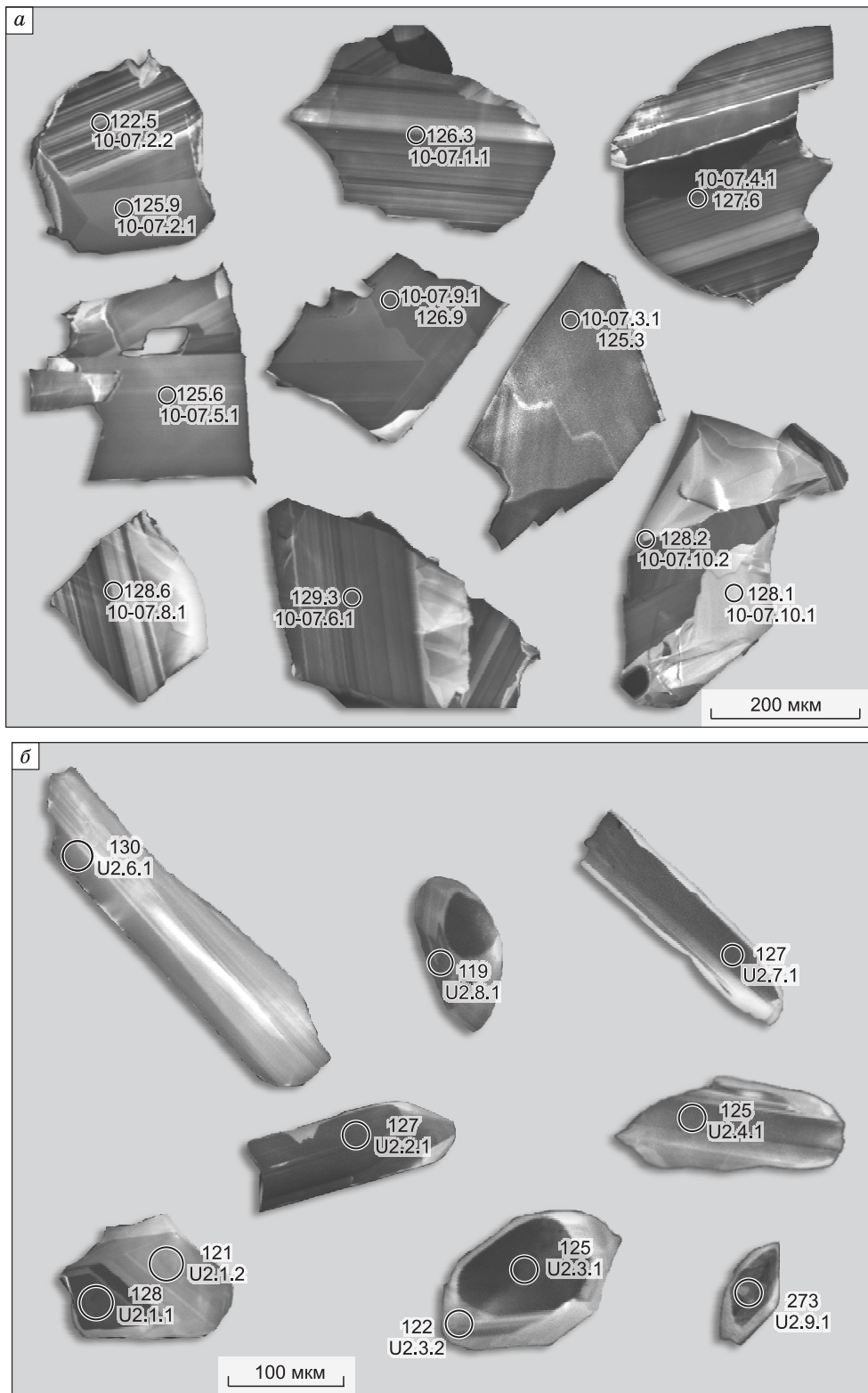
Примечание. Названия пород даны по авторам анализов. Hrb — роговая обманка.

Таблица 2. Rb-Sr характеристика карбонатитов Ошурковского месторождения

Номер пробы	Анализированный материал	Содержание, г/т		$^{87}\text{Rb} / ^{87}\text{Sr}$	$^{87}\text{Sr} / ^{86}\text{Sr}$
		Rb	Sr		
<b>Точка 4 (жила № 1)</b>					
O-12	Вал	6.97	2652	0.0665	0.70545
O-5к	Кальцит	1.50	4524	0.00096	0.70578
O-5а	»	1.2	10874	0.00032	0.70548
O-5б	Барит	0.8	15805	0.00015	0.70546
O-5f	Флогопит	179.2	290	1.792	0.70819
O-5f	»	173.6	230	2.180	0.70924
O-5в	»	212.1	213.4	2.896	0.71002
<b>Точка 1 (жила № 3)</b>					
Ош-8/07	Флогопит	312.7	277.8	3.256	0.71092
Ош-8а/07	Калиевый полевой шпат	3.71	3171.7	0.0033	0.70534
Ош-86/07	Кальцит	2.5	11797.8	0.0006	0.70536

Примечание. По точке 4: возраст  $118 \pm 11$  млн лет,  $I_{\text{Sr}} = 0.7054 \pm 0.0002$ , СКВО = 0.96. По точке 1: возраст  $120 \pm 9$  млн лет,  $I_{\text{Sr}} = 0.7053 \pm 0.0002$ , СКВО = 0.0097.

U-Pb датирование (SHRIMP-II) проведено по циркону (см. рис. 1, т. 1). Этот минерал приурочен к агрегату кальцита с вкрапленностью флогопита, магнетита, слагает кристаллы размером до 0.7 см. Длинные оси последних ориентированы перпендикулярно контакту. В минерале присутствует 0.5—1.0 мас.%  $\text{HfO}_2$ , катодолюминесценцией в минерале выявлена тонкая ритмичная кристаллизационная зональность (рис. 2, а), типичная для цирконов магматического происхождения, реликтов ядер и явных следов вторичных метасоматических изменений не обнаружено. Соответственно, для них нехарактерны вторичные каймы обрастания и перекристаллизация. В кристаллах отсутствуют и механические нарушения. В целом цирконы имеют невысокие концентрации U и Th при  $\text{Th/U} = 0.33$  (табл. 3).



**Рис. 2. Катодолюминесцентное изображение зерен циркона из карбонатитов (а) и габброидов (б) Ошурковского массива.**

Показано положение точек датирования и значение возраста (млн лет). Точки анализа соответствуют табл. 3 и 5.

Таблица 3.

## Результаты U-Pb (SHRIMP-II) изучения цирконов из карбонатитов Ошурковского массива

Точка анализа	$^{206}\text{Pb}_{\text{c}}$ , %	U	Th	$^{232}\text{Th}/^{238}\text{U}$	$^{206}\text{Pb}^*, \text{г/т}$	Возраст, млн лет	$^{207}\text{Pb}/^{206}\text{Pb}$		$^{207}\text{Pb}/^{206}\text{Pb}^*$		$^{207}\text{Pb}/^{235}\text{U}$		$^{206}\text{Pb}^*/^{238}\text{U}$		Коррекция ошибок					
							(1)	$^{206}\text{Pb}/^{238}\text{U}$	$\pm\%$	(1)	$^{206}\text{Pb}^*/^{238}\text{U}$	$\pm\%$	(1)	$^{206}\text{Pb}^*/^{235}\text{U}$	$\pm\%$					
1.1	0.20	556	294	0.55	9.46	126.3	$\pm 1.3$	50.43	1.1	0.0513	2.5	50.53	1.1	0.0498	3.7	0.1358	3.9	0.01979	1.1	0.280
2.1	0.29	375	113	0.31	6.37	125.9	$\pm 1.5$	50.55	1.2	0.0526	4.9	50.7	1.2	0.0502	6.4	0.1366	6.5	0.01972	1.2	0.185
2.2	0.41	396	143	0.37	6.55	122.5	$\pm 1.3$	51.92	1	0.05	2.1	52.13	1.1	0.0467	5.4	0.1236	5.5	0.01918	1.1	0.193
3.1	0.55	428	125	0.30	7.26	125.3	$\pm 1.6$	50.65	1.1	0.0514	2.4	50.93	1.2	0.0471	9.3	0.127	9.3	0.01963	1.2	0.134
4.1	0.36	488	113	0.24	8.42	127.6	$\pm 1.5$	49.82	1.1	0.0529	2.6	50.01	1.2	0.05	6.4	0.1378	6.5	0.02	1.2	0.179
5.1	0.43	476	109	0.24	8.09	125.6	$\pm 1.5$	50.61	1.1	0.0517	2.4	50.83	1.2	0.0482	7.6	0.131	7.7	0.01967	1.2	0.157
6.1	0.27	453	243	0.55	7.9	129.3	$\pm 1.4$	49.24	1.1	0.0517	2.3	49.37	1.1	0.0495	3.8	0.1384	4	0.02025	1.1	0.281
7.1	0.21	636	188	0.30	10.8	125.7	$\pm 1.4$	50.7	1.1	0.04928	2	50.8	1.1	0.0476	3.1	0.1292	3.3	0.01968	1.1	0.333
8.1	0.32	628	218	0.36	10.9	128.6	$\pm 1.4$	49.47	1	0.05104	1.9	49.62	1.1	0.0485	5.2	0.1347	5.3	0.02015	1.1	0.202
9.1	0.19	441	108	0.25	7.55	126.9	$\pm 1.5$	50.19	1.2	0.0518	2.3	50.28	1.2	0.0503	3.8	0.1379	4	0.01989	1.2	0.307
10.1	1.39	123	23	0.19	2.15	128.1	$\pm 2.3$	49.13	1.5	0.0541	4.2	49.82	1.8	0.043	2.1	0.119	2.1	0.02007	1.8	0.089
10.2	0.21	493	164	0.34	8.52	128.2	$\pm 1.3$	49.7	1	0.0504	2.2	49.8	1	0.0488	4.1	0.135	4.2	0.02008	1	0.246

Примечание.  $Pb_c$  и  $Pb^*$  — доля обыкновенного и радиогенного свинца соответственно. (1) — обыкновенный  $Pb$  исправлен на измеренный  $^{204}Pb$ . Ошибка в калибровке стандарта составляет 0.62 %.

Было проанализировано 10 зерен в 12 точках (см. табл. 3, рис. 2, а). На графике с конкордией все полученные значения образуют компактный конкордантный кластер (см. рис. 3, а) с возрастом  $126.64 \pm 0.85$  млн лет ( $CKBO = 0.055$ ), который принят в качестве времени образования карбонатитов. Он заметно древнее имеющихся Rb-Sr датировок и совпал с возрастом других проявлений карбонатитов Юго-Западного Забайкалья (Халютинского, Аршанского, Южного), определенный как Rb-Sr, так и U-Pb методами [Рипп и др., 2009].

В связи с большой вариацией значений возраста силикатных пород, полученных предшествующими исследователями (см. табл. 1), нами проведено геохронологическое (U-Pb, SHRIMP-II) изучение циркона на двух участках. Химический состав пород, из которых отобраны пробы циркона, приведен в табл. 4.

Проба первого участка (т. 2) представлена мезократовым, вторая (т. 3) — меланократовым габбро. В первом случае проанализировано 10 зерен. Среди полученных значений выделились две группы, семь определений легли в интервал 116.3—128.3 млн лет (рис. 4, а), три показали возраст 274.7—284.2 млн лет (табл. 5). Цирконы первой группы характеризуются повышенной гетерогенностью содержаний U и Th при среднем отношении  $Th/U = 0.61$ . По второй группе с конкордантным возрастом  $280.6 \pm 2.7$  млн лет (см. рис. 4, б) мы пока не можем дать удовлетворительного объяснения. Они характеризуются весьма неоднородным содержанием U и Th (см. табл. 5, зерна 7-1, 8-1, 9-1). Можно полагать, что источником этого циркона явились ксенолиты вмещающих гнейсовидных гранитов, возраст которых (245—347 млн лет), по данным геологического съемочного работ (Rb-Sr определения), близок к полученным значениям.

В связи с неоднозначностью полученных данных нами проведен анализ цирконов из габбро, отобранного на другом участке (т. 3). Проанализированный циркон представлен мелкими бесцветными, слегка желтоватыми удлиненными зернами и их сростками размером 100—300 мкм. Он включен в темноцветные минералы (биотит, амфибол), встречается в сростках с полевыми шпатами. При катодолюминесцентном изучении в них отмечается неоднородность в строении зерен (см. рис. 2, б). Участки начального роста (центральная часть зерен) имеют обычно темную окраску, содержат повышенные количества урана и тория, обусловившие подавление катодолюминесцентного

Таблица 4. Химический состав пород (мас.-%), для которых проведены геохронологические исследования

Компонент	Карбонатит		Щелочное габбро	
	т. 4*	т. 1	т. 2	т. 3
SiO <sub>2</sub>	22.70	9.60	47.35	43.22
TiO <sub>2</sub>	0.85	0.06	2.76	3.10
Al <sub>2</sub> O <sub>3</sub>	6.80	0.19	15.45	13.80
Fe <sub>2</sub> O <sub>3</sub>	8.00	0.31	4.41	3.98
FeO	2.60	0.43	4.06	6.68
MnO	0.23	0.16	0.08	0.08
MgO	0.72	0.42	4.50	6.89
CaO	28.90	36.80	7.65	10.97
Na <sub>2</sub> O	2.38	—	3.80	3.41
K <sub>2</sub> O	2.54	0.09	3.09	2.01
P <sub>2</sub> O <sub>5</sub>	0.88	0.10	2.48	3.34
SrO	—	0.59	0.71	0.42
BaO	1.25	14.00	0.58	0.31
CO <sub>2</sub>	19.45	29.06	0.22	0.33
SO <sub>3</sub>	0.68	6.75	<0.1	<0.1
F	0.11	0.14	0.47	0.57
П.п.п.	Не опр.	Не опр.	3.38	1.68
Сумма	98.09	98.70	100.99	100.79

\* Проанализирована контактовая зона карбонатитового тела, обогащенная КПШ и магнитом.

свечение. В большинстве зерен фиксируется преобладание содержаний тория над ураном. В периферийных зонах, имеющих более светлую окраску и более низкие концентрации урана и тория, просматривается ритмичная зональность, характерная для магматических цирконов. В ряде зерен присутствует светлая кайма, образовавшаяся на более поздней стадии.

Результаты датирования представлены в табл. 5 и на рис. 2, б, 3, б. Всего выполнено 10 анализов в восьми зернах. Как и в случае с карбонатитами полученные значения ложатся на конкордию и образуют компактный кластер. В девяти пробах значения возраста легли в интервал 119—130 млн лет при среднем значении  $125.4 \pm 2$  млн лет. Гетерогенность внутреннего строения, а также их химического состава не сказалась на аналитически значимые различия в возрасте фаз, хотя светлые зоны, слагающие периферийные участки зерен, имеют несколько меньшие значения. Во всех образцах зерна с гомогенным и

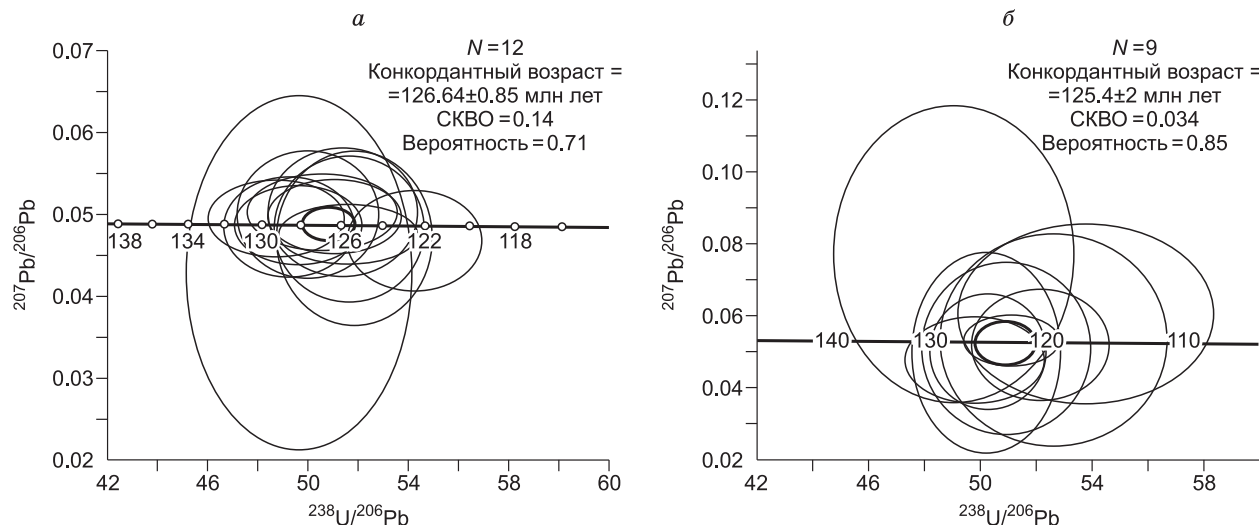


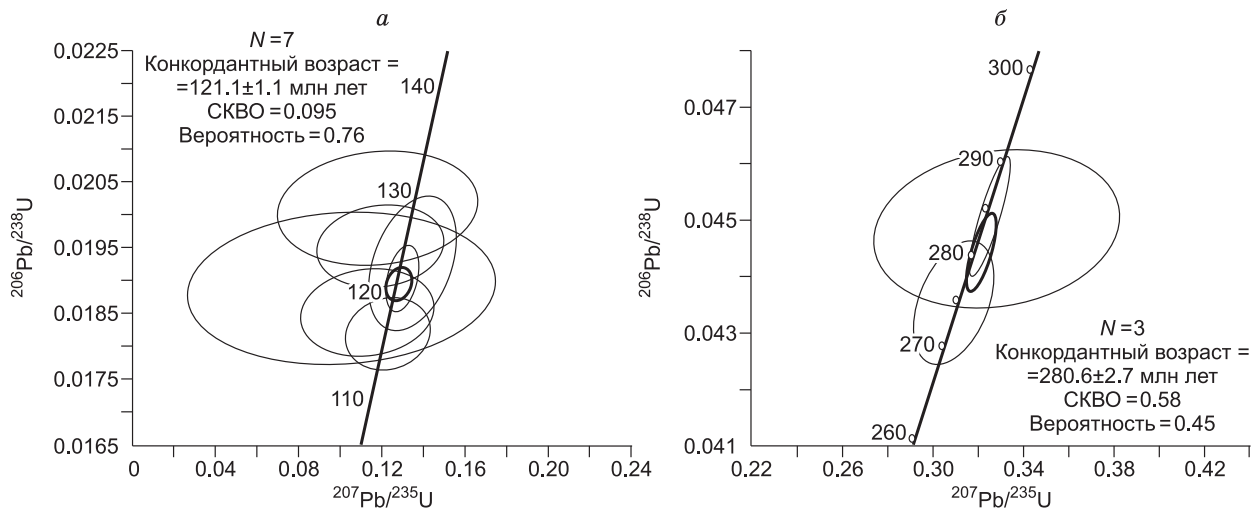
Рис. 3. График в координатах Тера-Вассербурга для цирконов из кальцитового карбонатита (а) и меланократового габбро (б) Ошурковского массива.

Таблица 5.

## Результаты U-Pb (SHRIMP-II) изучения цирконов из габбро Ошурковского массива

Точка анализа	$^{206}\text{Pb}_{\text{c}}$ , %	U	Th	$^{232}\text{Th}/^{238}\text{U}$		$^{206}\text{Pb}^*, \text{г/т}$	Возраст, млн лет	$^{238}\text{U}/^{206}\text{Pb}$	$\pm\%$	$^{207}\text{Pb}/^{206}\text{Pb}$	$\pm\%$	$(1)^{238}\text{U}/^{206}\text{Pb}^*$	$\pm\%$	$(1)^{207}\text{Pb}^*/^{235}\text{U}$	$\pm\%$	$(1)^{206}\text{Pb}^*/^{238}\text{U}$	$\pm\%$	Коррекция ошибок		
				$(1)^{206}\text{Pb}/^{238}\text{U}$	$\text{г/т}$															
Мезократовое габбро (т. см. рис. 1)																				
1.10.1	3.64	35	6	0.18	0.583	120.7	$\pm 4.8$	51	3.3	0.068	9	52.9	4	0.039	49	0.101	49	0.0189	4	0.082
1.4.1	1.70	126	118	0.97	2.04	118.3	$\pm 2.8$	53.1	2.2	0.0577	5.2	54	2.4	0.0442	19	0.113	19	0.01853	2.4	0.129
1.2.1	2.55	122	36	0.30	2.17	128.3	$\pm 3.7$	48.5	2.6	0.0629	6.7	49.7	2.9	0.043	27	0.118	27	0.0201	2.9	0.107
1.11.1	1.35	243	142	0.60	4.14	124.7	$\pm 2.6$	50.52	1.9	0.055	3.8	51.2	2.1	0.0443	17	0.119	17	0.01953	2.1	0.124
1.6.1	0.91	237	158	0.69	3.75	116.3	$\pm 2.3$	54.4	1.9	0.0562	3.9	54.9	2	0.049	11	0.123	11	0.01821	2	0.185
1.3.1	0.15	516	107	0.21	8.45	121.5	$\pm 2.1$	52.47	1.7	0.0506	2.7	52.54	1.7	0.0495	3.7	0.1298	4.1	0.01903	1.7	0.423
1.5.1	0.72	92	46	0.52	1.53	123.1	$\pm 4.2$	51.5	3.5	0.0564	6.3	51.9	3.5	0.0506	9.6	0.135	10	0.01927	3.5	0.341
1.8.1	0.47	568	523	0.95	21.3	274.7	$\pm 4.4$	22.86	1.6	0.05522	1.7	22.97	1.6	0.0515	3.4	0.309	3.8	0.04354	1.6	0.432
1.7.1	0.23	4385	1462	0.34	170	284.2	$\pm 4.3$	22.14	1.6	0.05416	0.59	22.19	1.6	0.05233	0.98	0.3252	1.8	0.04507	1.6	0.846
1.9.1	0.83	121	48	0.41	4.71	282.9	$\pm 5.7$	22.11	1.9	0.0597	3.5	22.29	2	0.053	11	0.328	11	0.04486	2	0.185
Меланократовое габброГ (т. см. рис. 1)																				
U2.8.1	1.11	105	145	1.42	1.7	119	$\pm 4.1$	53.2	3.3	0.0651	10	53.8	3.5	0.056	18	0.144	18	0.01858	3.5	0.189
U2.1.2	2.06	113	144	1.31	1.89	121	$\pm 3.8$	51.6	2.9	0.0654	11	52.6	3.2	0.049	25	0.128	25	0.01899	3.2	0.127
U2.3.2	1.16	269	100	0.38	4.48	122	$\pm 2.3$	51.57	1.8	0.0572	4.6	52.2	1.9	0.048	13	0.127	13	0.01916	1.9	0.143
U2.3.1	0.45	700	648	0.96	11.8	125	$\pm 1.7$	50.89	1.3	0.0527	3.2	51.12	1.4	0.0491	5.8	0.1324	6	0.01956	1.4	0.229
U2.4.1	1.95	247	186	0.78	4.24	125	$\pm 3$	50	2.1	0.0622	5.1	51	2.4	0.0466	21	0.126	21	0.01962	2.4	0.116
U2.7.1	1.03	474	1072	2.34	8.18	127	$\pm 2.1$	49.77	1.6	0.0542	8.1	50.29	1.7	0.046	14	0.126	14	0.01988	1.7	0.117
U2.2.1	2.71	301	228	0.78	5.29	127	$\pm 2.7$	48.88	1.6	0.0671	4.1	50.2	2.2	0.045	25	0.125	25	0.0199	2.2	0.085
U2.1.1	0.88	269	497	1.91	4.67	128	$\pm 2.6$	49.39	2	0.0505	5.3	49.8	2.1	0.0435	11	0.112	11	0.02007	2.1	0.180
U2.6.1	3.03	101	519	5.31	1.82	130	$\pm 4.6$	47.5	3	0.0964	7.1	49	3.6	0.073	23	0.205	23	0.02039	3.6	0.154
U2.9.1	0.43	436	304	0.72	16.3	273	$\pm 3.7$	23.02	1.4	0.0552	2.8	23.12	1.4	0.0518	4.9	0.309	5.1	0.04326	1.4	0.273

Примечание.  $Pb_c$  и  $Pb^*$  — доля обычновенного и радиогенного свинца соответственно. (1) — обыкновенный  $Pb$ , исправлен на измеренный  $^{204}Pb$ . Ошибка в калибровке стандарта составляет 1.05 % и 0.62 % для мезократового и меланократового габброГ соответственно.



**Рис. 4. График в координатах Тера-Вассербурга для цирконов I (а) и II (б) из мезократового габбро Ошурковского массива.**

гетерогенным катодолюминесцентным свечением показывают одинаковые возрасты в пределах погрешности. Один анализ, как и в предыдущем случае, показал значение  $273 \pm 3.7$  млн лет, близкое к возрасту вмещающих гнейсовидных гранитов.

## ОБСУЖДЕНИЕ

Проведенные исследования позволяют уточнить возраст габброидов и карбонатитов Ошурковского массива, который ранее был определен с использованием менее устойчивых к наложенным процессам изотопных K-Ar и Rb-Sr систем. При этом Rb-Sr датировки как габброидов, габбро-пегматитов, так и карбонатитов дают постоянно более низкие значения возраста относительно U-Pb датирования. Подтверждением этого является возраст (Rb-Sr) биотитовых гнейсов (см. табл. 1), оказавшийся моложе, прорываемых гранитами или габброидами.

Из цирконов в габбро часть определений имеет раннемеловой возраст, другая — существенно более древняя, совпадает с возрастом вмещающих гранитов. Появление таких цирконов в габброидах, вероятнее всего, связано с присутствием в них ксенолитов гранита.

Важность полученных датировок связана прежде всего с тем, что они обосновывают позднемезозойский возраст крупного массива габброидов. До последнего времени мезозойский возраст был известен только у дайковых и вулканических образований, связанных с рифтогенным этапом.

Не менее важным представляется также совпадение полученного возраста карбонатитов Ошурковского участка с возрастом карбонатитов, распространенных на площади Юго-Западного Забайкалья, шонкинитов Халютинского и сиенитов Южного проявления. Это позволяет локализовать временной интервал карбонатитового магматизма в регионе.

Кроме того, близкий возраст габброидов Ошурковского массива и распространенных на его площади жил карбонатитов предопределяет проведение исследований по оценке комагматичности этих пород. Это важно еще и потому, что петрохимические особенности пород Ошурковского массива довольно резко отличаются от известных в мире силликатных пород прорывающих карбонатиты. В связи с этим встает необходимость изучения других щелочно-основных массивов Западного Забайкалья на предмет возможности прорутизации ими карбонатного расплава.

## ЗАКЛЮЧЕНИЕ

U-Pb возраст карбонатитов оказался идентичным карбонатитовым проявлениям Юго-Западного Забайкалья и базитовых пород собственно Ошурковского массива. Это предопределяет необходимость дальнейшего геохронологического изучения plutона, прорывающих его гранитных пегматитов, вмещающих гранитов, а также других щелочно-основных массивов региона.

Работа выполнена при поддержке проектов ОНЗ 10.3, РФФИ-Байкал 08-05-98028, интеграционного проекта СО РАН 14.2.

## ЛИТЕРАТУРА

- Андреев Г.В., Гордиенко И.В., Кузнецов А.Н., Кравченко А.И.** Апатитоносные диориты Юго-Западного Забайкалья. Улан-Удэ, Бурят. кн. изд-во, 1972, 157 с.
- Костромин С.В., Ковальский Ф.И.** Геолого-структурные особенности Ошурковского месторождения апатита и его народно-хозяйственное значение // Труды Бур. компл. науч.-исслед. ин-та. Улан-Удэ, Бурят. кн. изд-во, вып. 21, 1966, с. 92—96.
- Кузнецов А.Н.** Минералогия и геохимия апатитоносных диоритов (Юго-Западное Забайкалье). Новосибирск, Наука, 1980, 103 с.
- Кузнецова Л.Г., Василенко В.Б., Холодова Л.Д.** Особенности состава породообразующих минералов Ошурковского массива // Материалы по генетической и экспериментальной минералогии. Новосибирск, ОИГГМ, 1995, т. 11, вып. 832, с. 81—97.
- Литвиновский Б.А., Занвилевич А.Н., Бурдуков И.В., Карманов Н.С.** Сиениты как продукт фракционной кристаллизации щелочно-базальтовой магмы Ошурковского массива, Забайкалье // Петрология, 1998а, т. 6, № 1, с. 30—53.
- Литвиновский Б.А., Занвилевич А.Н., Посохов В.Ф., Врублевская Т.Т., Бурдуков И.В.** Новые данные о строении и времени формирования Ошурковского массива щелочных габбро и сиенитов (Забайкалье) // Геология и геофизика, 1998б, т. 39 (6), с. 730—744.
- Поляков Г.В., Богнибов В.И., Кривенко А.П., Балыкин П.А.** О происхождении, формах проявления и распространенности апатитовой минерализации Ошурковского типа на юге Сибири // Геология и геофизика, 1980 (6), с. 19—26.
- Рипп Г.С., Кобылкина О.В., Дорошкевич А.Г., Шаракшинов А.О.** Позднемезозойские карбонатиты Западного Забайкалья. Улан-Удэ, Изд-во БНЦ СО РАН, 2000, 224 с.
- Рипп Г.С., Дорошкевич А.Г., Посохов В.Ф.** Возраст карбонатитового магматизма Забайкалья // Петрология, 2009, т. 17, № 1, с. 79—96.
- Смирнов Ф.Л.** Ошурковское месторождение апатита // Советская геология, 1971, № 3, с. 79—90.
- Шадаев М.Г., Посохов В.Ф., Рипп Г.С.** Rb-Sr данные о раннемеловом возрасте пегматитов в Западном Забайкалье // Геология и геофизика, 2001, т. 42 (9), с. 1421—1424.
- Яценко Г.М.** Об интрузиях Ошурковского типа в центральной части Западного Забайкалья // Рудносность геологических формаций Забайкалья. Новосибирск, Наука, 1982, с. 93—99.
- Яценко Г.М., Росихина А.И.** О генетических особенностях Ошурковской апатитоносной интрузии и о некоторых близких ей массивах Западного Забайкалья // Геология и полезные ископаемые Сибири (материалы конференции). Т. II. Петрология. Томск, Изд-во Том. ун-та, 1974, с. 44—45.
- Black L.P., Kamo S.L., Allen C.M., Aleinikoff J.N., Davis D.W., Korsch R.J., Foudoulis C.** TEMORA 1: a new zircon standard for Phanerozoic U-Pb geochronology // Chem. Geol., 2003, v. 200, p. 155—170.
- Doroshkevich A.G., Ripp G.S., Moore K.R.** Genesis of the alkaline-basic Ba-Sr carbonatite complex (West Transbaikalia, Russia) // Miner. Petrol., 2010, v. 98, p. 245—268.
- Litvinovsky B.A., Jahn B., Zanvilevich A.N., Shadaev M.G.** Crystal fractionation in the petrogenesis of an alkali monzodiorite-syenite series: the Oshurkovo plutonic sheeted complex, Transbaikalia, Russia // Lithos, 2002, v. 64, p. 97—130.
- Ludwig K.R.** User's manual for Isoplot/Ex, Version 2.10. A geochronological toolkit for Microsoft Excel; Berkeley Geochronology Center Special Publication, 1999, № 1, 46 p.
- Ludwig K.R., SQUID 1.00** User's manual. Berkeley Geochronology Center Special Publication, 2000, № 2, 19 p.
- Williams J.S.** U-Th-Pb geochronology by ion microprobe. Application of microanalytical techniques to understanding mineralizing processes // Rev. Econ. Geol., 1998, v. 7, p. 1—35.

Рекомендована к печати 5 февраля 2010 г.  
А.Э. Изюмом

Поступила в редакцию  
25 ноября 2009 г.